レール・車輪間接触バネの非線形性が定常応答に 及ぼす影響

新潟大学大学院自然科学研究科 学生会員 千田雄亮 新潟大学工学部建設学科 正会員 阿部和久 新潟大学大学院自然科学研究科 正会員 紅露一寛

1. はじめに

列車走行によって生じる軌道振動は,列車の走行安定性 や軌道破壊,地盤振動などに影響を及ぼす.これらの問題 に適切な対策を講じるためには,その動特性を把握する必 要がある.既往の研究 1)2) では,無限長レール・半無限地 盤・車輪連成系の定常応答解析手法が構成されてきている. なお,文献 1)2) では,走行車輪・軌道間の接触バネは線形 で与えられている.しかし,実際の接触バネは非線形性を 有している.軌道振動は主に車輪とレールの接触により生 じるため,列車・軌道連成系の動的応答の把握には,レー ル・車輪間の接触を適切に評価する必要がある.

そこで,本研究では,レール・車輪間の接触を非線形バネで与え,具体的な解析手法を構成すると共に定常応答への影響を調べる.

2. 解析手法

(1) 非線形バネによるレール・車輪間接触力

図 1 のように , 地盤上に軌道パッド , まくらぎ , まくらぎ下パッドを介して離散支持された無限長レールを対象とする . その上を一定の上載荷重 P が作用する質量 M の車輪が一定速度 c で走行するものとする . なお , まくらぎは等間隔 L で配置されており , 車輪変位 w(t) および , レール変位 u(t) は周期長 L に律動するものとする .

車輪・レール間の接触力 $F^w(t)$ は , ヘルツ接触応力の 2 次近似により次式で与える .

$$F^{w}(t) = k_1(w(t) - u(t)) + k_2(w(t) - u(t))^2 - \frac{P}{8}$$
 (1)

ここで, k_1 , k_2 はそれぞれ車輪,レールの物性値より得られる定数でヘルツ接触系数を k とすると次式で与えられる.

$$k_1 = \frac{3}{4}k\delta_0^{\frac{1}{2}}, k_2 = \frac{3}{8}k\delta_0^{-\frac{1}{2}}, \delta_0 = (\frac{P}{k})^{\frac{2}{3}}$$
 (2)

一方,接触力 $F^w(t)$ は,まくらぎ間隔 L の周期性をもつため Fourier 級数により次のように表現できる.

$$F^{w}(t) = \sum_{n} F_{n}^{w} e^{i\frac{2n\pi}{L}ct}$$
(3)

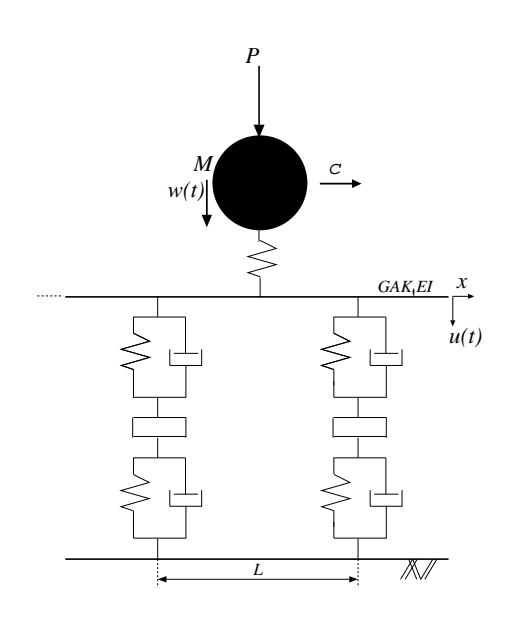


図 1 移動荷重が作用する無限長レール

同様に,車輪変位w(t),レール変位u(t)を次式で与える.

$$w(t) = \sum_{n} w_n e^{i\frac{2n\pi}{L}ct}$$

$$u(t) = \sum_{n} \sum_{m} F_n^w A_m^n e^{i\frac{2n\pi}{L}ct}$$
(4)

ただし, A_m^n はまくらぎ,地盤連成系のモデルより得られるレール変位の振幅である $^{1)2)}$.

また,車輪の運動方程式を次式で与える,

$$F^{w}(t) = M \frac{\partial^{2}}{\partial t^{2}} w(t) - P \tag{5}$$

式 (5) に式 (3) , 式 (4) を代入すると $e^{i\frac{2n\pi}{L}ct}$ の各項につ (1) いて次式が得られる .

$$w_n = \frac{1}{M} (\frac{L}{2n\pi c})^2 F_n^w \qquad (n \neq 0),$$
 (6)

$$w_0 = \delta_0 + PA_0^0 \qquad (n = 0) \tag{7}$$

以上の準備のもと,式 (3),式 (4) 及び式 (6) を式 (1) に代入すると, $e^{i\frac{2n\pi}{L}ct}$ の各項について, F_n^w を未知量とした無限連立方程式が次式のように得られる.

$$\begin{split} -F_n^w + k_1 (M(\frac{L}{2n\pi c})^2 F_n^w - \sum_i F_i^w A_n^i) \\ + k_2 \sum_{l \neq 0} (M(\frac{L}{2l\pi c})^2 F_l^w - \sum_i F_i^w A_l^i) \\ \times (M(\frac{L}{2(n-l)\pi c})^2 F_{n-l}^w - \sum_j F_j^w A_{n-l}^j) = 0 \end{split}$$

Key Words: 定常応答解析,レール・車輪接触,非線形バネ

連絡先:950-2181 新潟市西区五十嵐二の町 8050 番地 TEL 025(262)7028 FAX 025(262)7021

表 1 レールの諸条件	
質量密度 (kg/m^3)	7880
ヤング率 $({ m N/m^2})$	$206\!\times\!10^9$
ポアソン比	0.33
断面積 (m^2)	$77.5{\times}10^{-4}$
断面二次モーメント (m ⁴)	3.09×10^{-5}
せん断弾性係数 $({ m N/m^2})$	$77.44\!\times\!10^{9}$
せん断係数	0.34

式 (8) を有限項で打ち切り , それを解くことで未知量 F_n^w が得られ,式(3)より車輪・レール間の接触力を求めるこ とができる.

実際の解析では Fourier 級数を有限項で打ち切り, Newton-Raphson 法を用いて解を求める.

解析例 3.

(1) 解析条件

図1に示した無限長軌道を対象とする.まくらぎ間隔 は $L=~0.6\mathrm{m}$, 軌道パッド , まくらぎ下パッドのバネ定数 及び減衰定数はそれぞれ k_s =110MN/m , η_s =1.1MN·s/m , k_b = $60 \mathrm{MN/m}$, η_b = $0.6 \mathrm{MN \cdot s/m}$ で設定し , レール一本分の まくらぎ質量は 100kg とし, 地盤剛性はせん断波速度を $C_T = 5000 \mathrm{m/s}$ とし,剛基盤に近い設定をしている.車 輪の上載荷重は P=57500N, レール・車輪間の接触定数 を $k=96\mathrm{GN/m}^{\frac{3}{2}}$ と設定した . Fourier 級数の打ち切り項は |n|=35 としている.また,レールは $60 \log$ レールを対象と し表1の様に設定する.

(2) 接触バネの非線形性が輪重応答に及ぼす影響

車輪質量は 500kg , 1000kg の 2 ケース , 車輪走行速度 は 30m/s , 100m/s の 2 ケースとし , 計 4 ケースを解析し た.解析結果を図2,図3に示す.図は横軸が車輪位置で 0.3m がまくらぎ位置となっている.また,比較のため既往 の手法 $^{2)}$ による結果をそれぞれ破線で示す . 既往の手法に よる解析では,静的荷重下でヘルツ接触モデルの接線剛性 を与えるように,バネ定数を $1.2 \times 10^9 \,\mathrm{N/m}$ に設定した.そ の他の条件については本手法によって行った解析の条件と 同様となっている.

図2,図3より,まくらぎ通過直後に接触力が急減する 輪重抜けが見られる.その傾向は,走行速度が大きいほど, また車輪質量が大きいほどより顕著になっていることが確 認できる.

本手法による結果と既往の手法による結果を比較すると、 走行速度 30m/s の場合,図 2,3 共に非線形性の影響はほと んど認められないが、100m/s の場合には比較的明瞭な差 が生じている、特にまくらぎ通過後の輪重抜けの直後に比

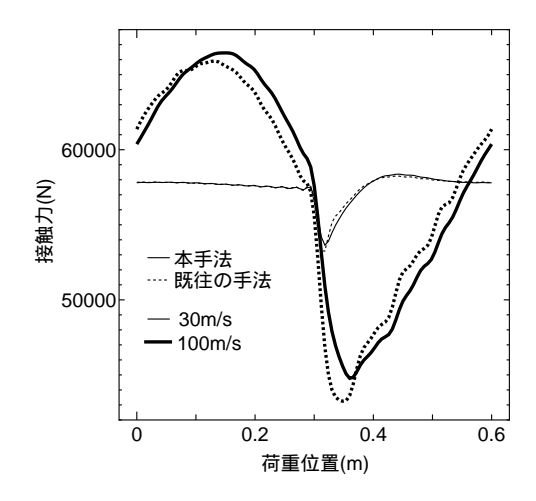


図 2 車輪・レール間の接触力 (M=500kg)

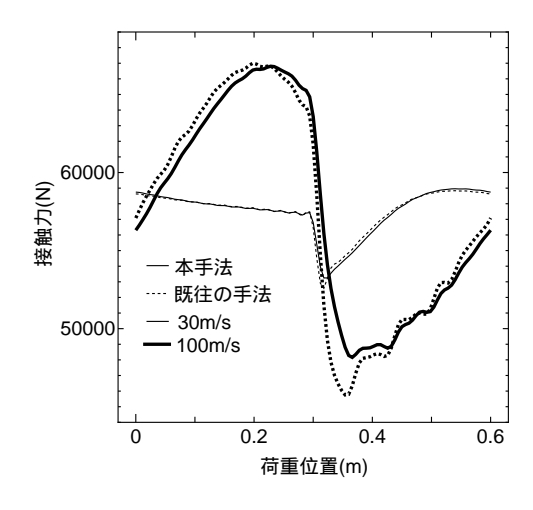


図 3 車輪・レール間の接触力 (M=1000kg)

較的大きな違いが見られ,輪重抜けが小さく抑えられてい ることがわかる.また,図2,図3より,車輪質量が大き い程,その傾向が明瞭になっていることが分かる.ただし, この差は全体の接触力に対して,車輪質量500kgの場合に 3.5% 程度 , 車輪質量 1000kg で 5.2% 程度であり定常応答 に与える影響は決して大きくない.

おわりに

本研究では、レール・車輪間の接触バネの非線形性を考 慮した軌道定常応答解析手法を構築した.

レール・車輪間の接触バネの非線形性が定常応答に及ぼ す影響は,走行速度が速く動的応答が大きい場合に比較的 明瞭に現れた、特に,まくらぎ通過直後の輪重抜けに減少 が認められた.ただし,輪重全体に対して,その差は小さ く非線形性が及ぼす影響は決して大きくはなく、定常応答 に対して重要ではない.

- 佐成屋淳,阿部和久,紅露一寛:走行車輪と軌道系の定常応答
- 解析,計算数理工学論文集,Vol.9,61-66,2009.12. 高野祐紀,阿部和久,紅露一寛:3次元地盤・走行車輪・軌道 高野祐紀,阿部和久,紅露 連成系の定常振動応答解析 , J-RAIL2011 , 219-222, 2011.12.